

03.01.

03.00. Wasserhaushalt
03.01. Wasserkreislauf

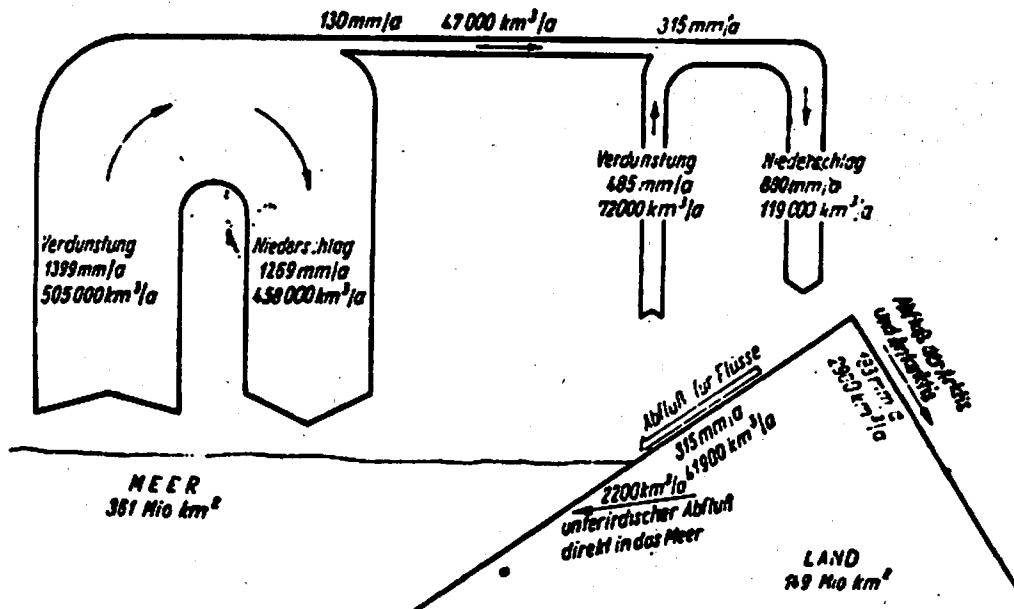


Bild 03.01./1: Vereinfachtes Schema des Wasserkreislaufes (DYCK, 1978)

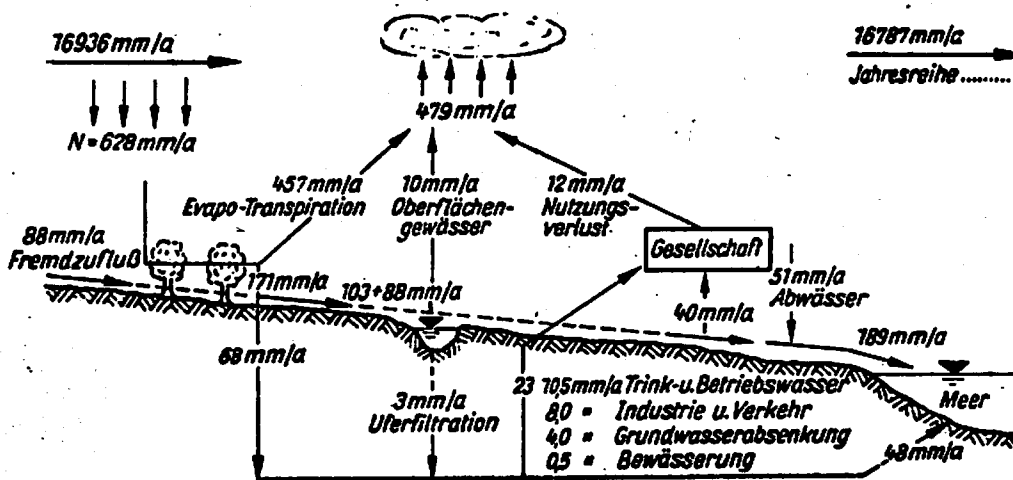


Bild 03.01./2: Wasserkreislauf und -bilanz der DDR (BUSCH/LUCKNER, 1972)

03.00. Wasserhaushalt

03.02. Wasserhaushaltsgrößen und -mengen

03.02.

Tabelle 03.02./1: Die Gesamtwassermenge der Erde und ihre Aufgliederung (alle Zahlen gerundet)

1. Gesamtwassermenge	1 337 000 000 km ³	≅ 100,00 %
davon: Salzwasser (Meere, Seen)	1 300 000 000 km ³	≅ 97,23 %
Süßwasser	37 000 000 km ³	≅ 2,77 %
2. Süßwassermenge	37 000 000 km ³	≅ 100,00 %
davon:		
a) nicht nutzbar	28 514 000 km ³	≅ 77,687%
in Gletscher- und Polareis		77,65 %
in der Atmosphäre		0,034%
in Lebewesen		0,003%
b) Oberflächensüßwasser (Flüsse und Seen)	124 000 km ³	≅ 0,337%
c) Grundwasser	8 065 000 km ³	≅ 21,976%
Bodenfeuchte und oberflächennahes Grundwasser	65 000 km ³	≅ 0,176%
bis 800 m Tiefe	4 000 000 km ³	≅ 10,9 %
800 bis 4000 m Tiefe	4 000 000 km ³	≅ 10,9 %

Tabelle 03.02./2: Wasserhaushaltsgrößen der Erde für ein mittleres Jahr (DYCK, 1978)

	Fläche 10 ⁶ km ²	Niederschlag \bar{P}		Verdunstung ET		Abfluß \bar{R} (Zufluß) zum Meer					
		mm	km ³	mm	km ³	oberirdisch		unterirdisch		Insgesamt	
		mm	km ³	mm	km ³	mm	km ³	mm	km ³	mm	km ³
Erde	510	1130	577 000	1130	577 000	-	-	-	-	-	-
Weltmeer	361	1270	458 000	1400	505 000	124	44 700	6	2200	130	47 000
Festland											
Abflußgebiete	119	924	110 000	529	63 000	376	44 700	19	2200	395	47 000
Abflußlose Gebiete	30	300	9 000	300	9 000	-	-	-	-	-	-
Gesamt	149	800	119 000	485	72 000	300	44 700	15	2200	315	47 000

03.02.

03.00. Wasserhaushalt

03.02. Wasserhaushaltsgrößen und -mengen

Tabelle 03.02./3: Natürliche Ressource des im Mittel jährlich erneuerten unterirdischen Abflusses der Kontinente

Kontinent	Gesamter Abfluß der Flüsse km ³ /a	Anteil des unterirdischen Abflusses am Gesamtabfluß %	Unterirdischer Abfluß- anteil in den Flüssen km ³ /a
Europa	3210	35	1120
Asien	14410	26	3750
Afrika	4570	35	1600
Nordamerika	7450 ¹⁾	29	2160
Südamerika	11760	35	4120
Australien	2390	24	575
Insgesamt	43790	30	13320

1) ohne Abfluß des Polargebietes

Tabelle 03.02./4: Potentielles Wasserdargebot und Intensität der Wassernutzung einiger europäischer Staaten Stand 1960/1962 (ROSLER, 1975)

Staat	Potentielles Wasserdargebot		Genutztes Wasserdargebot		Nutzungsgrad [%]
	[10 ⁹ m ³ /a]	[m ³ /Ea] ¹⁾	[10 ⁹ m ³ /a]	[m ³ /Ea] ¹⁾	
UdSSR	3150	15000	61,0	290	1,9
Österreich	60	8600	1,5	215	2,5
Italien	150	3000	15,6	312	10,4
VR Polen	55	1900	5,8	200	10,5
Spanien	61	2100	7,6	260	12,5
Frankreich	183	4000	24,0	525	13,1
BRD	93	1750	14,0	265	15,0
CSSR	30	2230	4,6	340	15,3
VR Ungarn	20	2000	3,2	320	16,0
VR Bulgarien	18	2300	3,0	385	16,7
DDR und Westberlin	17	880	6,1	314	36,0

1) Ea = je Einwohner und Jahr

03.00. Wasserhaushalt

03.02. Wasserhaushaltsgrößen und -mengen

03.02.

Tabelle 03.02./5: Der mittlere Abfluß der Flüsse der Kontinente in mm Wasserhöhe (DYCK, 1978)

Europa	283	Südamerika	685
Asien	324	Australien	280
Afrika	153	Antarktika	165
Nordamerika	339	Festland	315

Tabelle 03.02./6: Verdunstungswerte freier Wasserflächen (KITNER u.a., 1967)

Monat	Kühler, von Felsen umgebener Gebirgssee		Windoffener Flachlandsee		Stauhaltung, windgeschützt		Windgeschützter Flachlandsee	
	mm	%	mm	%	mm	%	mm	%
Januar	43	5,6	27	2,9	24	3,8	25	3,7
Februar	58	7,6	29	3,1	25	3,9	27	4,0
März	58	7,6	44	4,7	45	7,1	46	6,9
April	60	7,9	60	6,4	57	9,0	58	8,6
Mai	75	9,8	121	12,9	80	12,6	85	12,6
Juni	92	12,1	155	16,6	93	14,5	90	13,4
Juli	118	15,6	156	16,7	102	16,1	115	17,0
August	80	10,5	136	14,5	80	12,6	90	13,4
September	63	8,2	86	9,2	59	9,3	65	9,7
Oktober	50	6,6	54	5,8	34	5,4	36	5,3
November	35	4,6	38	4,0	21	3,3	20	3,0
Dezember	30	3,9	30	3,2	15	2,4	16	2,4
Jahr	762	100	936	100	635	100	673	100

Tabelle 03.02./7: Mittlere prozentuale Aufteilung der mittleren Jahressumme der aktuellen Evapotranspiration auf Monate (DYCK, 1978)

	Jan.	Febr.	März	April	Mai	Juni	Juli	August	Sept.	Okt.	Nov.	Dez.	Jahr
Landwirtschaft- liche Kulturen (nach <u>Glugla</u>)	1,0	2,0	4,5	8,0	14,0	21,5	21,0	14,0	7,5	3,5	2,0	1,0	100
Wald (nach <u>Golf</u>)	2,5	3,5	5,0	8,5	13,0	16,0	15,0	14,0	10,0	7,0	3,0	2,5	100

03.02.

03.00. Wasserhaushalt

03.02. Wasserhaushaltsgrößen und -mengen

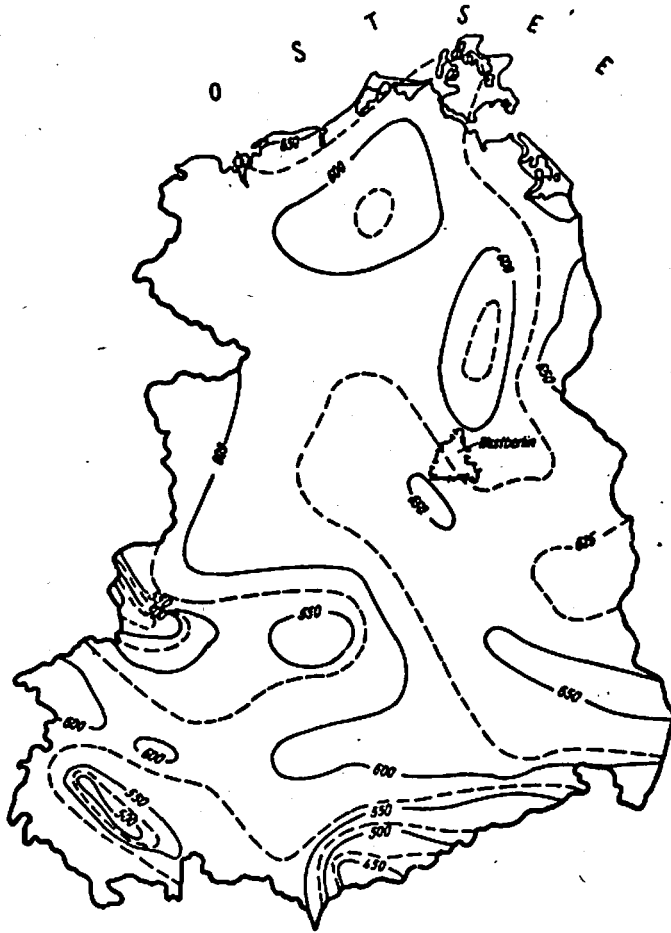


Bild 03.02./1: Langjährige Mittelwerte der potentiellen Verdunstung PET der DDR in $\text{mm}\cdot\text{a}^{-1}$ (DYCK, 1978)

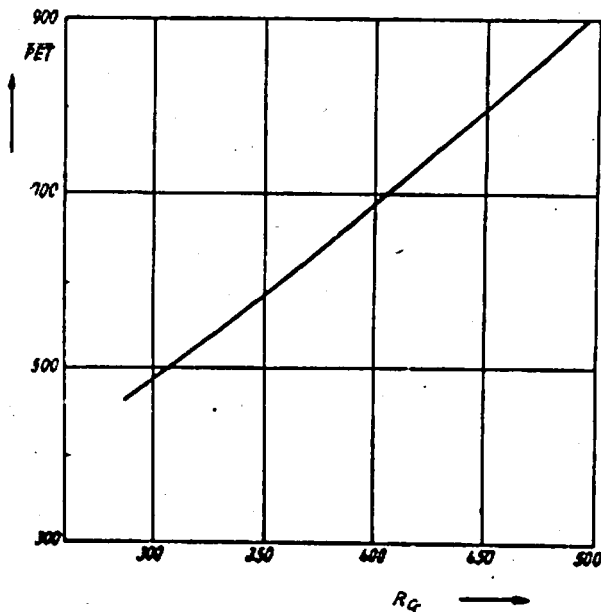


Bild 03.02./2: Potentielle Verdunstung PET in Abhängigkeit der Globalstrahlung R_g für Flachland der DDR in $\text{mm}\cdot\text{a}^{-1}$ (DYCK, 1978)

03.00. Wasserhaushalt

03.02. Wasserhaushaltsgrößen und -mengen

03.02.

Tabelle 03.02./8: Gewässerkundliche Hauptzahlen
(KITNER u.a., 1977)

Lfd. Nr.	Bezeichnung	Wasserstände	Abflüsse	Abflussspenden	Wassertemperatur	Bemerkungen
		W [cm]	Q [m ³ /s]	q [l, skm ²]	T [°C]	
1	Absoluter Höchst- oder Größtwert (HH)	HHW	HHQ	HHq	HHT	
2	Höchst- oder Größtwert im Zeitraum (H)	HW	HQ	Hq	HT	Werte beziehen sich auf bestehenden Zeitraum. Ohne Zeitangabe oft für ein Abflußjahr.
3	Mittlerer Höchst- oder Größtwert im Zeitraum (MH)	MHW	MHQ	MHq	MHT	Arithmetische Mittel der (H)-Werte für verschiedene Abflußjahre. Meistens Mittel (H) aus den letzten 20 Jahren.
4	Mittelwert (M)	MW	MQ	Mq	MT	Gilt nur als arithmetisches Mittel über einen Zeitraum. Meist langjährige Reihe.
5	Mittlerer niedrigster Wert im Zeitraum (MN)	MNW	MNQ	MNq	MNT	sinngemäß wie 3.
6	Niedrigster Wert im Zeitraum (N)	NW	NQ	Nq	NT	sinngemäß wie 2.
7	Absolut niedrigster Wert (NN)	NNW	NNQ	NNq	NNT	sinngemäß wie 1.

03.03.

03.00. Wasserhaushalt
03.03. Sonstige Einflußgrößen

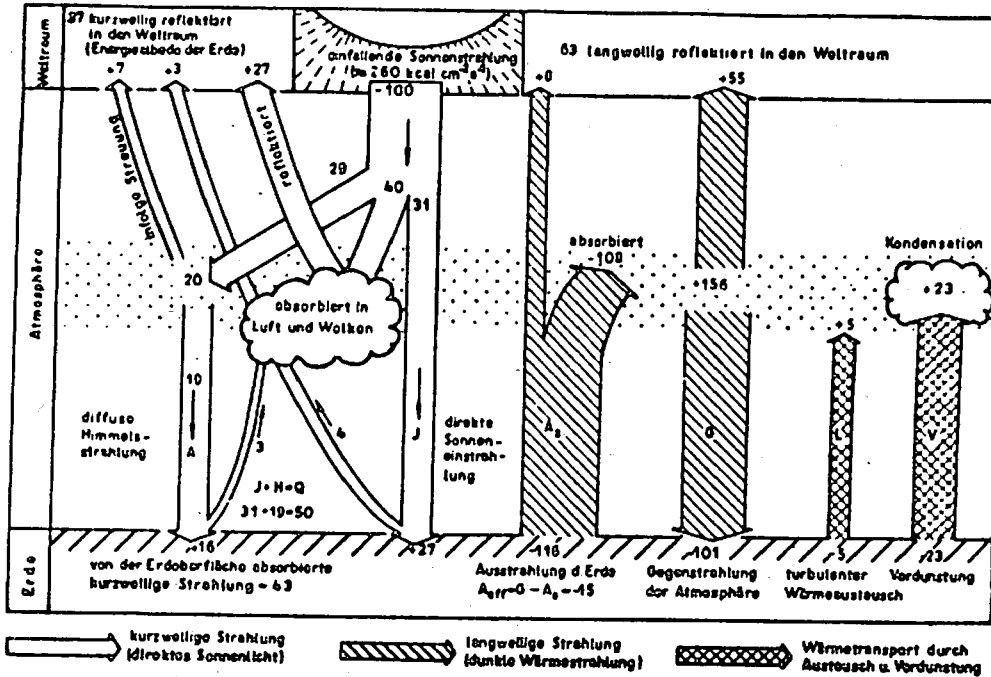


Bild 03.03./1: Schema des Wärmehaushaltes der Erde (DYCK/GOLF, 1972)

Tabelle 03.03./1: Idealwerte der Globalstrahlung (Rayleigh-Strahlung) in $W \cdot m^{-2}$ (DYCK, 1978)

Geogr. Breite	Jan.	Febr.	März	April	Mai	Juni	Juli	August	Sept.	Okt.	Nov.	Dez.
+ 50°	91,6	156	243	341	416	450	435	373	280	187	110	76,1
+ 51°	85,3	149	237	336	413	449	433	370	274	180	105	70,3
+ 52°	79,0	142	231	332	411	448	432	367	269	174	98,9	64,5
+ 53°	73,2	135	224	328	409	447	431	363	264	168	91,6	54,2
+ 54°	66,9	128	218	323	407	447	429	361	259	161	85,8	52,3
+ 55°	61,1	121	212	319	404	446	428	357	254	155	79,5	46,5

Tabelle 03.03./2: Mittlere Tagessummen der Globalstrahlung in kJ/m^2 bei reiner trockener Atmosphäre in Potsdam (DYCK, 1978)

Januar	Februar	März	April	Mai	Juni
6783	12 058	19 846	28 470	35 295	38 560
Juli	August	September	Oktober	November	Dezember
37 181	31 275	23 069	14 611	8 374	5 568

03.00. Wasserhaushalt
03.03. Sonstige Einflußgrößen

03.03.

Tabelle 03.03./3: Luftdruck in Abhängigkeit von geodätischer Höhenlage (KITNER u.a., 1967)

Höhe [m NN]	Luftdruck	
	[Torr]	[mWS]
0	760	10,33
100	751	10,20
200	742	10,08
300	733	9,97
400	724	9,85
500	716	9,73
600	707	9,62
700	698	9,50
800	690	9,40
900	682	9,30
1000	674	9,20
1500	655	8,60
2000	598	8,10

03.03.

03.00. Wasserhaushalt
03.03. Sonstige Einflußgrößen

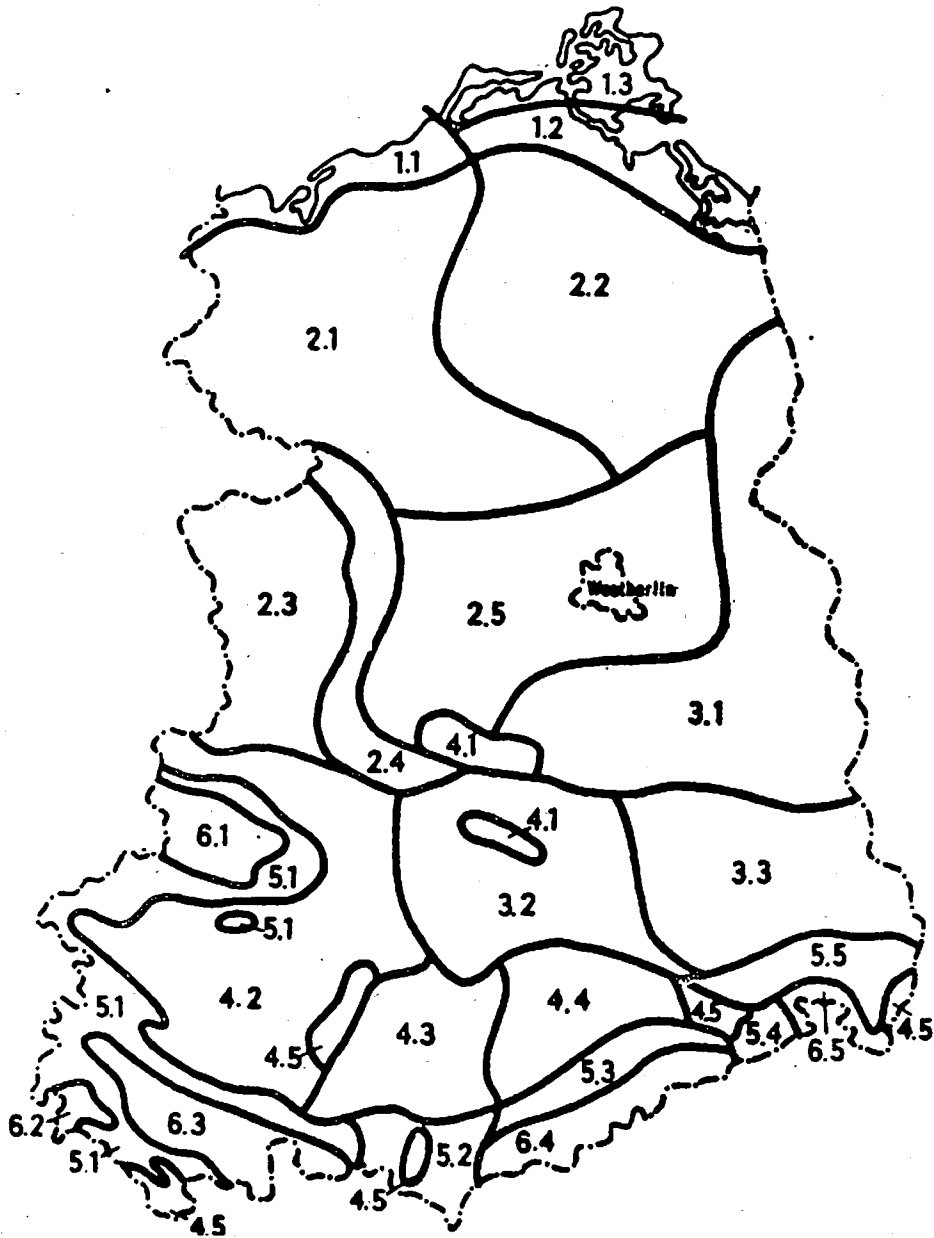


Bild 03.03./2: Klimagebiete der DDR nach BÖER/SCHMIDT
(TGL 24300/03)

03.00. Wasserhaushalt
03.03. Sonstige Einflußgrößen

03.03.

Tabelle 03.03./4: Klimagebiete der DDR
(vgl. Bild 03.03./2)

-
1. Küste
 - 1.1 Westmecklenburgische Küste
 - 1.2. Ostmecklenburgische Küste
 - 1.3 Raum Darß, Hiddensee, Nordrügen

 2. Stark maritim beeinflusstes Binnentiefland
 - 2.1 Westmecklenburg
 - 2.2 Ostmecklenburg
 - 2.3 Westliche Altmark und nördliche Magdeburger Börde
 - 2.4 Elbniederung
 - 2.5 Nordwest-Brandenburg und Raum Berlin

 3. Stark kontinental beeinflusstes Binnentiefland
 - 3.1 Odertal, Südost-Brandenburg, Spreewald
 - 3.2 Leipziger Tieflandsbucht und Heidegebiete zwischen Mulde und Schwarzer Elster
 - 3.3. Niederlausitz

 4. Binnenbecken und Binnenhügelland im Lee der Mittelgebirge
 - 4.1 Hoher Fläming und östliche Dübener Heide
 - 4.2 Harzvorland und Thüringer Becken
 - 4.3 Raum zwischen Saale und Zwickauer Mulde
 - 4.4 Mittelsächsisches Hügelland
 - 4.5 Oberes Werratal und Grabfeld, mittlere Saale; obere Weiße Elster, Dresdener Elbetalweitung, Zittauer Becken

 5. Vorland der Mittelgebirge
 - 5.1 Vorland von Harz, Rhön und Thüringer Wald
 - 5.2 Vogtland und Schiefergebirge
 - 5.3 Vorland des Erzgebirges
 - 5.4 Elbsandsteingebirge
 - 5.5 Lausitzer Gebirgsvorland

 6. Mittelgebirge, oberhalb 400 m
 - 6.1 Harz
 - 6.2 Rhön
 - 6.3 Thüringer Wald
 - 6.4 Erzgebirge
 - 6.5 Lausitzer Gebirge
-

Tabelle 03.03./5: Durchschnittliche Niederschlagssummen und durchschnittliche Lufttemperaturen für die Klimagebiete nach BÖKR/SCHMIDT (aus TGL 24300/03.1)

Klima- gebiet	Monat												Jahr
	I	II	III	IV	V	VI	VII	VIII	IX	X	XI	XII	
03.03.	03.00. Wasserhaushalt												
	03.03. Sonstige Einflußgrößen												
1.1	45 0,4	33 0,7	35 3,7	40 6,9	45 11,8	53 15,1	63 17,3	60 16,6	48 13,8	55 9,2	45 4,7	50 1,7	572 8,4
1.2	45 -0,5	35 -0,2	35 2,5	40 6,3	45 11,4	55 14,9	64 17,1	65 16,4	50 13,4	58 8,7	45 3,6	53 0,9	590 7,9
1.3	45 -0,3	35 -0,3	38 2,2	40 5,7	45 10,8	50 14,4	60 16,9	68 16,4	53 13,6	60 9,0	48 4,4	53 1,3	595 7,9
1.3	45 -0,3	35 -0,3	38 2,2	40 5,7	45 10,8	50 14,4	60 16,9	68 16,4	53 13,6	60 9,0	48 4,4	53 1,3	595 7,9
2.1	50 -0,1	37 0,5	44 3,6	44 7,8	47 13,0	57 15,9	67 17,8	60 16,8	49 13,7	50 8,7	44 4,0	54 1,0	603 8,5
2.2	47 -0,7	32 -0,2	37 2,9	38 7,0	46 12,6	55 15,3	69 17,4	58 16,4	47 13,3	47 8,4	40 3,6	50 0,6	566 8,0
2.3	44 -0,1	34 0,7	37 4,0	37 8,2	45 13,5	52 16,5	64 18,1	65 17,2	46 13,9	44 8,9	37 4,0	44 1,0	549 8,8
2.4	37 -0,3	26 0,4	35 3,8	35 8,1	45 13,3	51 16,1	57 17,9	61 17,0	45 13,8	43 8,8	35 3,9	42 0,8	512 8,6
2.5	42 -0,6	30 0,1	35 3,6	37 8,1	47 13,5	56 16,4	65 18,3	62 17,2	45 13,8	43 8,7	37 3,7	44 0,5	543 8,6
3.1	38 -0,9	27 -0,1	34 3,4	36 7,9	48 13,3	57 16,3	65 18,1	56 17,1	44 13,7	41 8,5	36 3,4	42 0,3	524 8,4
3.2	40 -0,3	33 0,4	36 3,8	40 8,1	53 13,4	57 16,3	66 18,1	58 17,2	46 13,9	46 8,9	36 3,9	40 0,7	551 8,7

03.00. Wasserhaushalt
03.03. Sonstige Einflußgrößen

03.03.

Fortsetzung Tabelle 03.03./5

3.3	mm °C	43 -0,7	35 0,0	40 3,4	45 7,8	55 13,2	67 16,1	71 18,0	68 17,1	51 13,9	48 8,8	43 3,7	47 0,5	613 8,5
4.1	mm °C	48 -0,9	35 -0,2	43 3,2	44 7,5	54 12,8	60 15,7	67 17,5	63 16,6	45 13,4	45 8,4	44 3,4	49 0,3	597 8,1
4.2	mm °C	33 -0,4	27 0,3	33 3,6	42 7,9	50 13,1	53 15,8	63 17,5	57 16,7	47 13,4	45 8,5	33 3,7	36 0,8	519 8,4
4.3	mm °C	40 -0,3	30 0,3	37 3,7	48 7,9	59 13,1	67 15,8	71 17,5	68 16,6	53 13,5	47 8,6	32 3,8	34 0,9	586 8,4
4.4	mm °C	50 -1,0	43 -0,3	48 3,0	52 7,3	60 12,5	68 15,3	76 17,1	75 16,2	57 13,1	52 8,2	47 3,2	49 0,2	677 7,9
4.5	mm °C	43 0,3	28 1,1	40 4,6	45 8,9	55 14,2	65 17,1	76 18,9	65 18,2	50 14,8	50 9,8	43 4,7	45 1,5	605 9,5
5.2	mm °C	43 -1,2	37 -0,4	43 3,0	53 7,3	62 12,0	67 15,5	76 17,3	80 16,4	57 13,2	48 8,2	37 3,1	42 -0,1	645 7,9
5.3	mm °C	60 -1,2	48 -0,5	52 2,7	60 6,9	65 12,0	67 14,7	80 16,6	86 15,9	67 13,0	65 8,2	52 3,2	58 0,0	760 7,8
5.4	mm °C	50 -2,3	45 -1,5	50 2,0	50 6,4	67 11,7	67 14,7	78 16,5	70 15,5	65 12,2	65 7,1	50 2,0	60 -1,2	717 6,9
5.5	mm °C	50 -1,1	40 -0,4	45 2,8	51 7,1	63 12,3	65 15,3	80 17,2	78 16,3	57 13,2	67 8,3	47 3,3	49 0,1	692 7,0

Für die Klimagebiete 5.1 und 6.1 bis 6.5 sind die Werte von nahegelegenen Klimastationen oder Niederschlagsmeßstellen zu übernehmen.

1) Werte für Niederschläge aus dem Klima-Atlas geschätzt
Werte für Temperaturen von BÖKR (1966) und aus Tabellenwerken Klimatologische Normalwerte (1955) übernommen

03.04.

03.00. Wasserhaushalt

03.04. Boden- und Grundwasserhaushalt

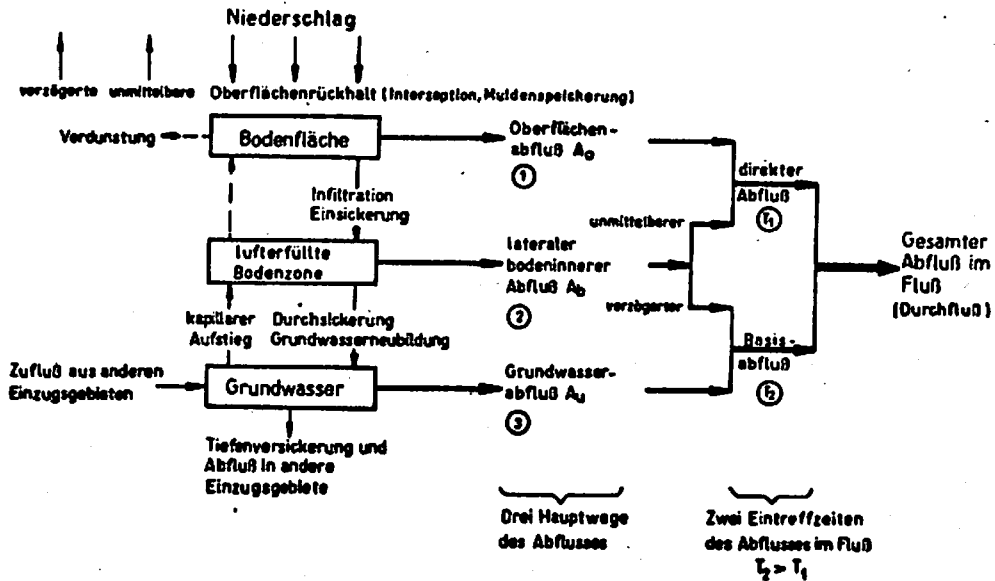
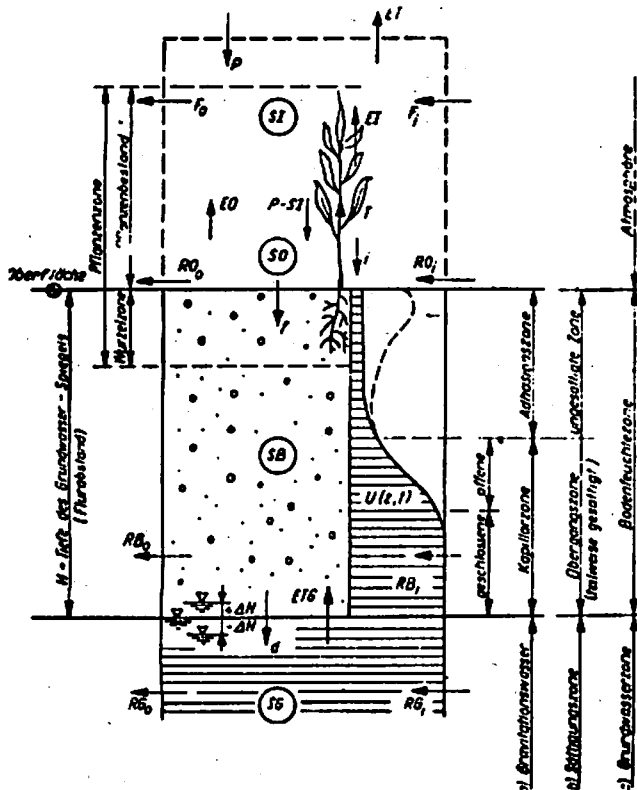


Bild 03.04./1: Abflußbildung



Einteilung nach
 a) wirkenden Kräften
 b) Sättigungsgrad
 c) Wasserart

Bild 03.04./2: Bodenwasserhaushalt nach KOVACS (DYCK, 1976)

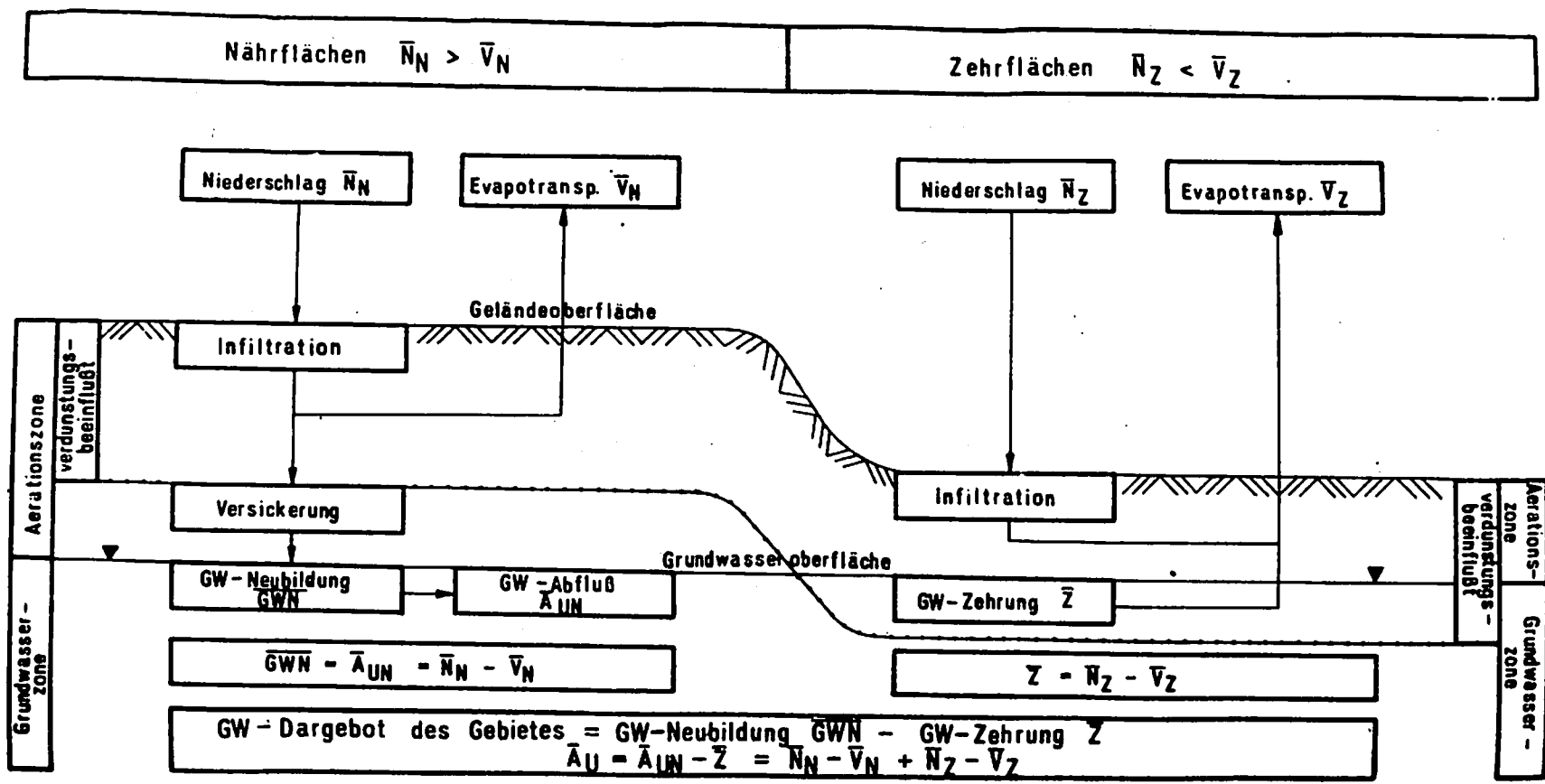


Bild 03.04./3: Schematische Darstellung der Dargebotsgrößen (langjährige Mittel) für unbedeckte GW-Leiter (GOLF/GIUGLA, 1981)

03.00. Wasserhaushalt

03.04. Boden- und Grundwasserhaushalt

03.04.

Tabelle 03.04./1: Verdunstungswerte von Sandböden verschiedener Bedeckung nach GÖHRE (KITZNER u.a., 1967)

Monat	Niederschlag mm	Unbewachsener Boden		Rasen (tiefer Grundwasserspiegel)		Kiefern		Rasen (hoher Grundwasserspiegel)	
		mm	%	mm	%	mm	%	mm	%
Januar	48,3	0,2	0,4	3,7	7,7	12,1	25,1	4,3	8,9
Februar	39,8	4,2	10,6	5,1	12,8	13,4	33,7	9,2	23,1
März	35,6	10,2	28,6	16,7	46,9	25,4	71,3	22,9	64,3
April	51,2	23,1	45,1	37,6	73,4	41,0	80,1	44,7	87,3
Mai	45,2	23,9	52,9	62,6	138,5	63,9	141,8	106,4	235,4
Juni	54,3	24,4	44,9	51,6	95,0	58,6	107,9	144,8	266,7
Juli	80,5	29,9	37,1	57,4	71,3	61,5	76,4	147,1	182,7
August	74,9	27,0	36,0	55,2	73,7	61,1	81,6	104,9	140,1
September	57,2	22,1	38,6	39,5	69,1	48,4	84,6	69,0	120,6
Oktober	57,9	9,6	16,6	18,2	31,4	28,6	49,4	28,5	49,2
November	42,9	2,6	6,1	7,0	16,3	13,0	30,3	10,2	23,8
Dezember	27,9	0,6	2,2	2,0	7,2	8,5	30,5	3,4	12,2
Summe	616,0	178,0	26,0	356,0	58,0	450,0	78,0	716,0	115,0
Zahl der Beobachtungsjahre		3		8		5		4	

Tabelle 03.04./2: Abflußpenden für Böden (BUSCH, 1962)

mittlerer Jahresniederschlag in mm	Abflußpende in l/s ha für	
	schwere und mittelschwere Böden	leichte Böden
bis 650	0,40	0,55
über 650 bis 750	über 0,40 bis 0,55	über 0,55 bis 0,70
über 750 bis 1000	über 0,55 bis 0,70	über 0,70 bis 1,00
über 1000	über 0,70 bis 1,00	über 1,00 bis 1,80 und mehr

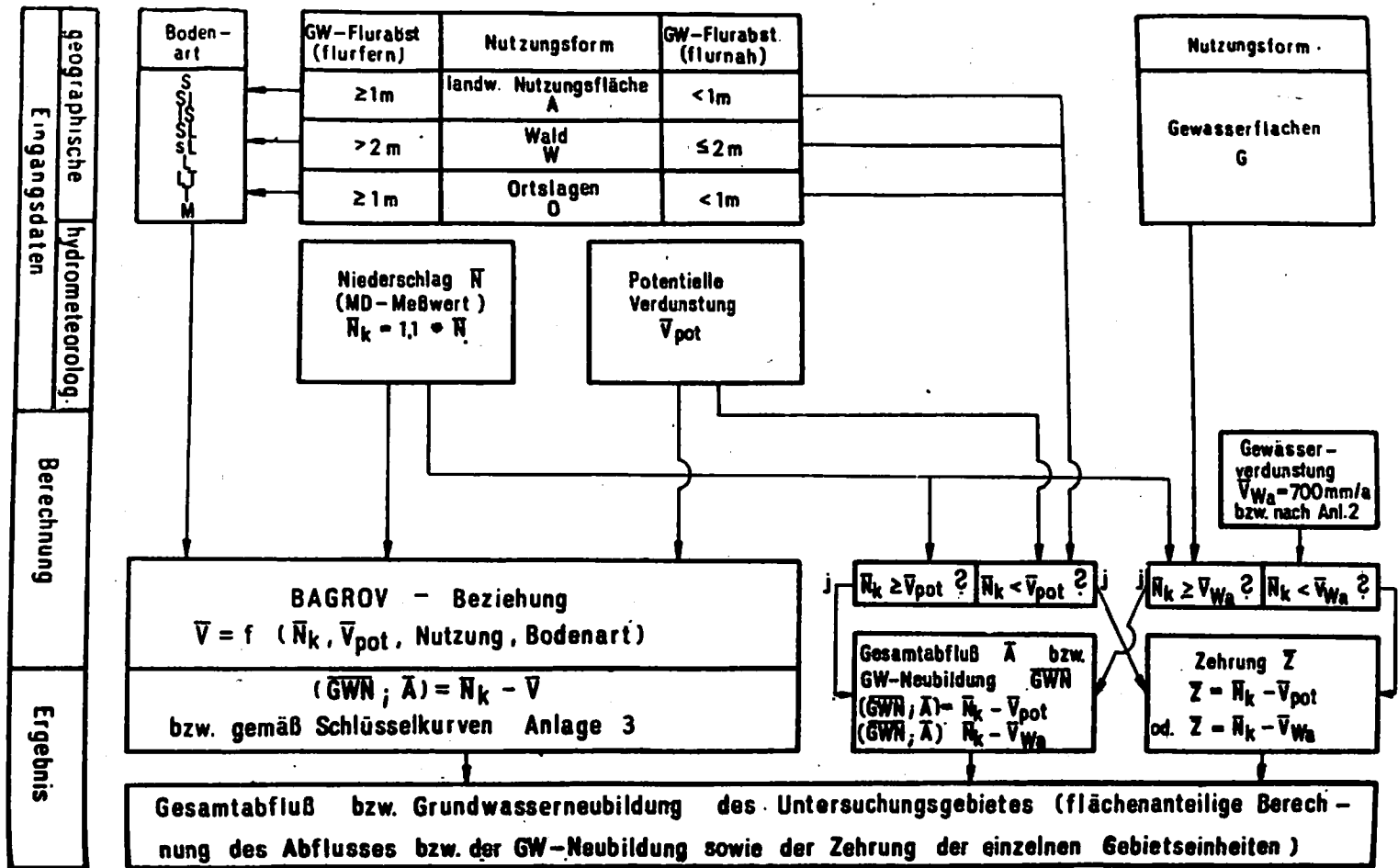


Bild 03.04./5: Grundwasserneubildung (GWN) - Berechnungsschema für Lockergestein nach BAGROV/GLUGLA

03.04.

03.00. Wasserhaushalt
03.04. Boden- und Grundwasserhaushalt

03.00. Wasserhaushalt

03.04. Boden- und Grundwasserhaushalt

03.04.

Tabelle 03.04./3: RASTER-Verfahren nach GLUGLA

Die wesentlichen Arbeitsschritte bei der Anwendung des RASTER-Verfahrens sind:

- Wahl eines orthogonalen Rasters
- Ermittlung folgender Gebietsinformationen an den Schnittpunkten des Rasters
 - . Koordinaten des Rasterpunktes
 - . Hauptnutzungsform
 - . Ertragsklasse der landwirtschaftlichen Nutzflächen
 - . Bodenart
 - . Klasse des Grundwasserflurabstandes
 - . langjähriger Mittelwert des Niederschlags
 - . langjähriger Mittelwert der potentiellen Verdunstung
- Eintragen der entnommenen Gebietsinformationen in Dateneingabeformulare
- Übertragung der codierten Information aus den Dateneingabeformularen auf Lochkarten oder Lochstreifen und Rechnung mit dem Programm RASTER

03.00. Wasserhaushalt

03.04. Boden- und Grundwasserhaushalt

03.04.

\bar{N} langj. Mittel des Niederschlags (korrigiert)
 \bar{V}_{pot} langj. Mittel der potentiellen Verdunstung
 \bar{V} langj. Mittel der realen Verdunstung

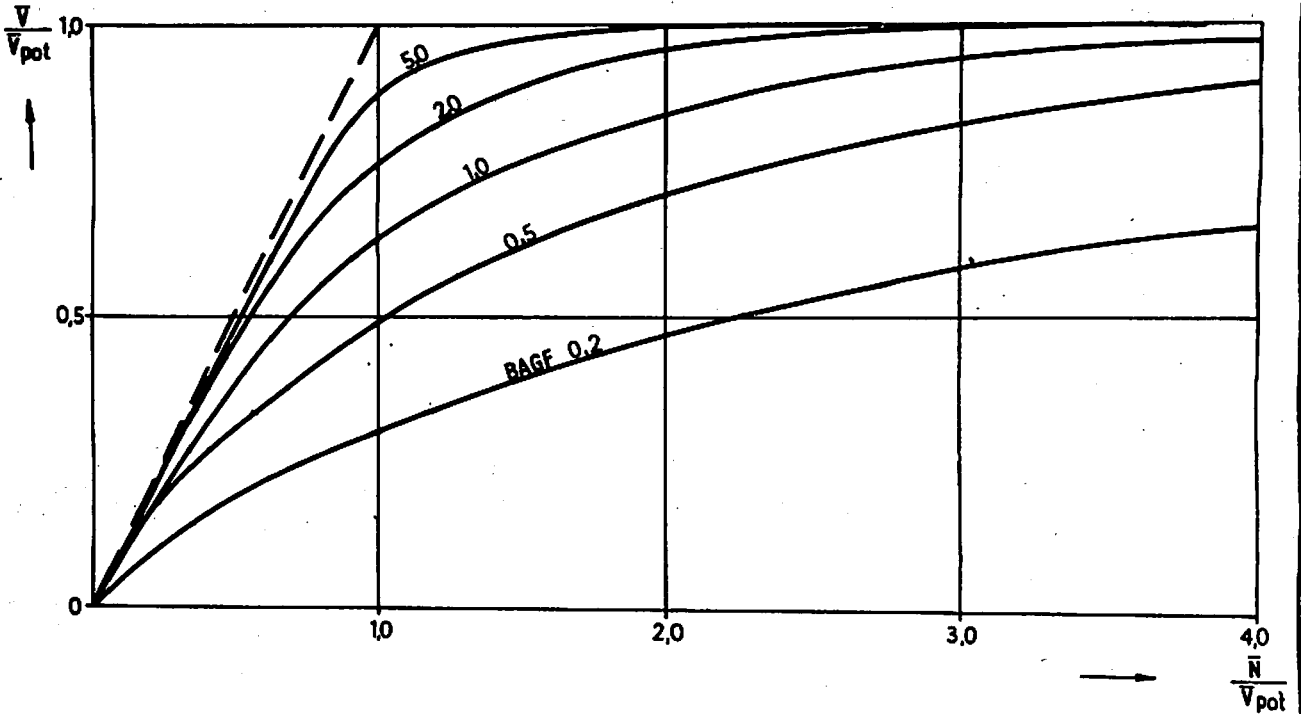


Bild 03.04./7: BAGROV-Beziehung für ausgewählte Effektivitätsparameter (GOLF/GLUGLA, 1981)

03.04.

03.00. Wasserhaushalt

03.04. Boden- und Grundwasserhaushalt

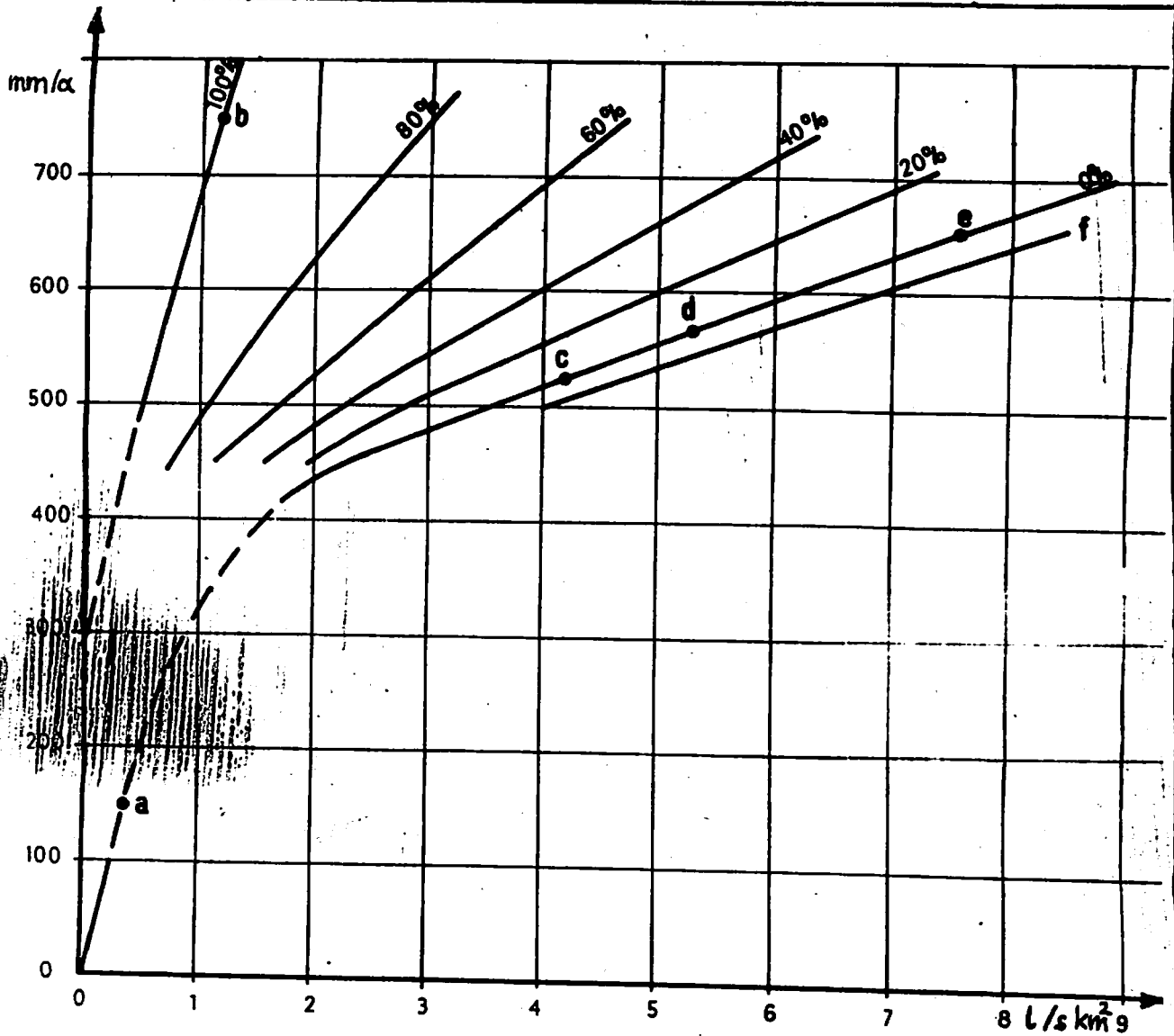


Bild 03.04./8: Schlüssel zur Ermittlung der Grundwasser-
Abflußspende in Lockergestein (ZIESCHANG, 1963)

03.00. Wasserhaushalt

03.04. Boden- und Grundwasserhaushalt

03.04.

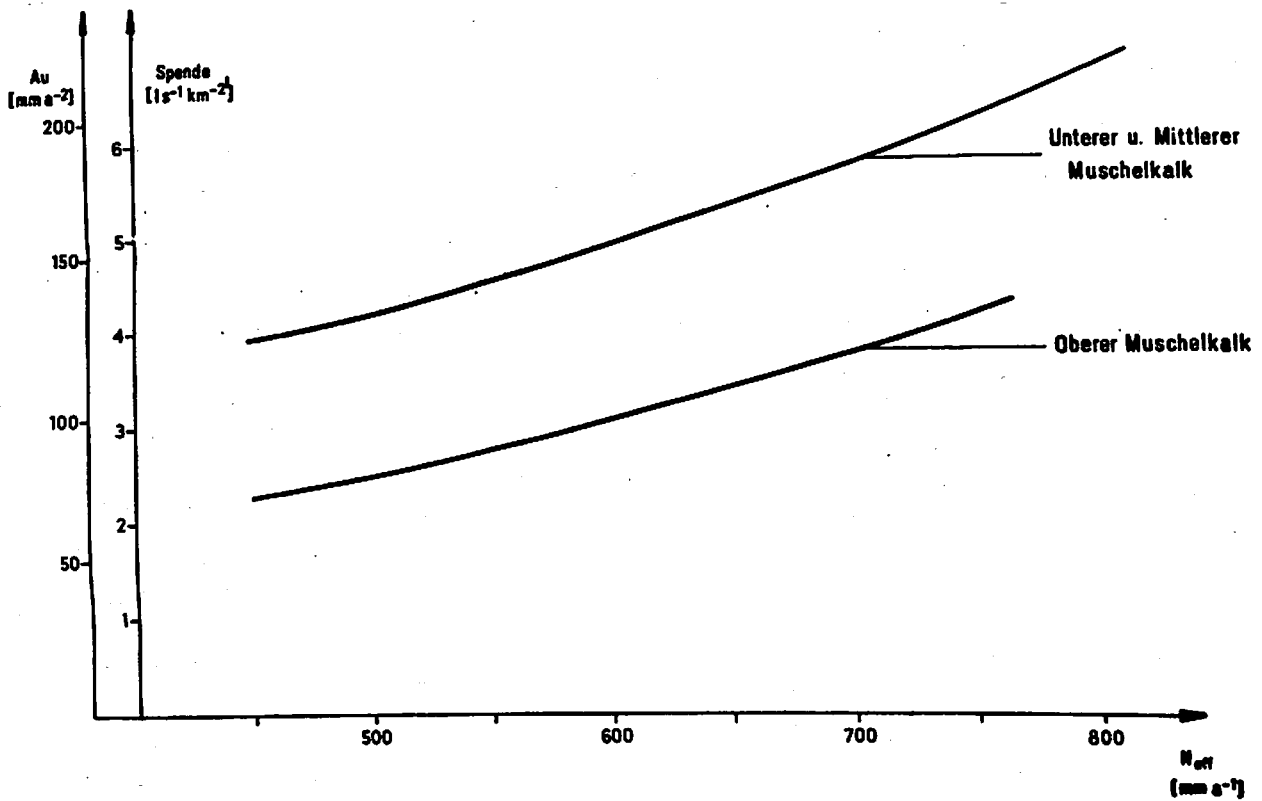


Bild 03.04./9: Schlüssellinien zur Ermittlung der mittleren GW-Neubildung - Muschelkalk - (ZIEGLER/GABRIEL, 1981)

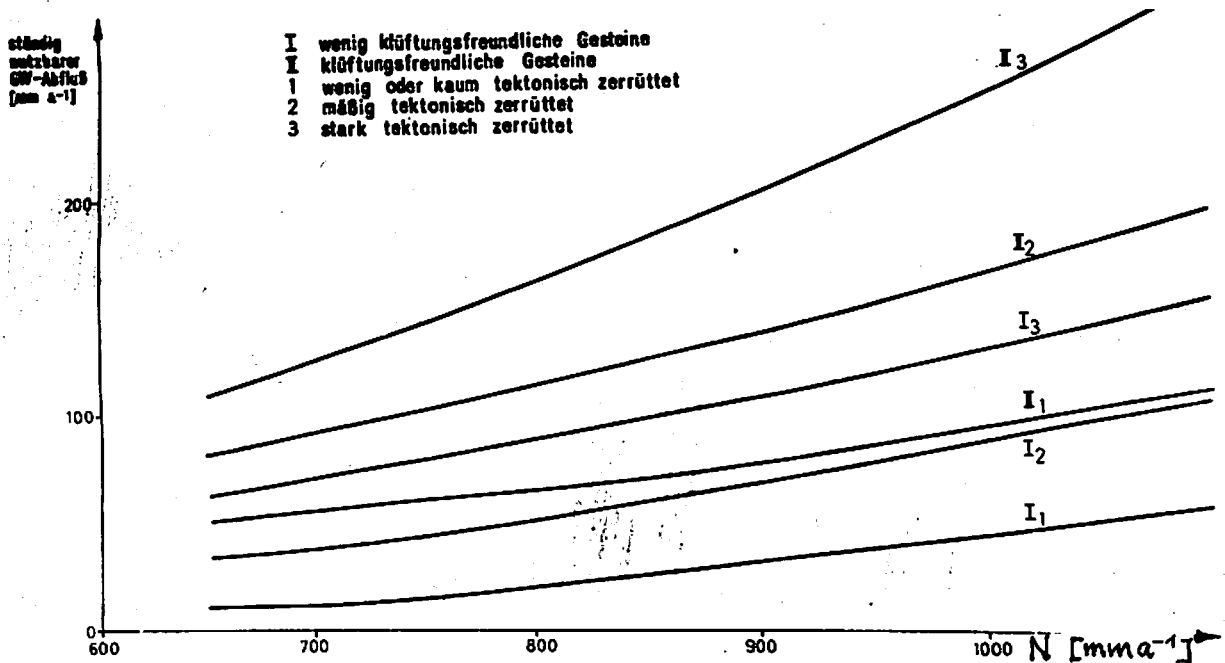


Bild 03.04./10: Schlüssellinien zur Ermittlung des nutzbaren GW-Abflusses in Vogtland und Erzgebirge (KRAFT/SCHRÄBER, 1976)

03.04.

03.00. Wasserhaushalt

03.04. Boden- und Grundwasserhaushalt

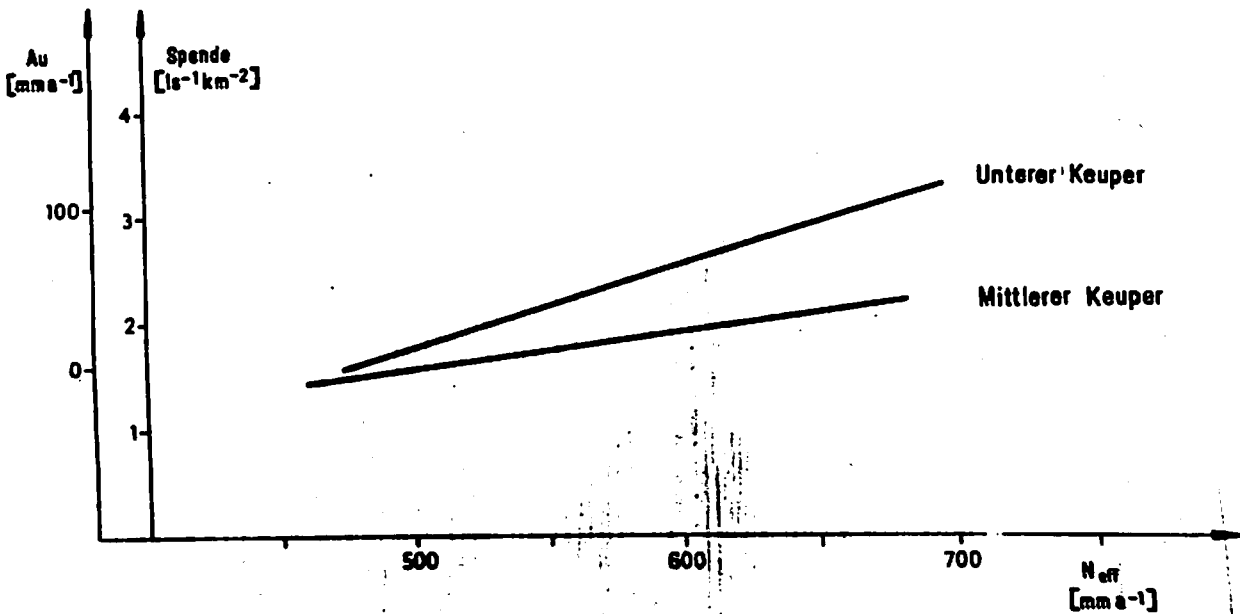


Bild 03.04./11: Schlüssellinien zur Ermittlung der mittleren GW-Neubildung - Keuper - (ZIEGLER/GABRIEL, 1981)

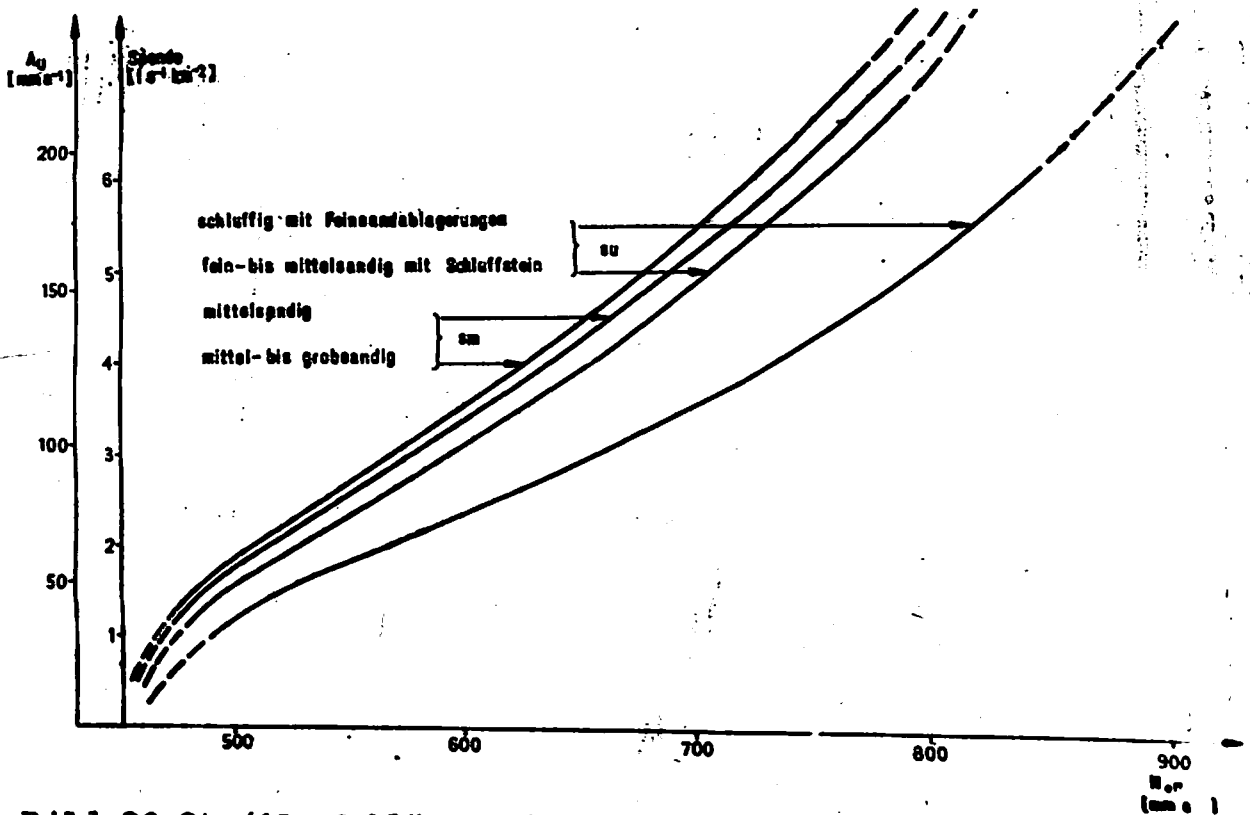


Bild 03.04./12: Schlüssellinien zur Ermittlung der mittleren GW-Neubildung - Buntsandstein - (ZIEGLER/GABRIEL, 1978)

03.00. Wasserhaushalt

03.04. Boden- und Grundwasserhaushalt

03.04.

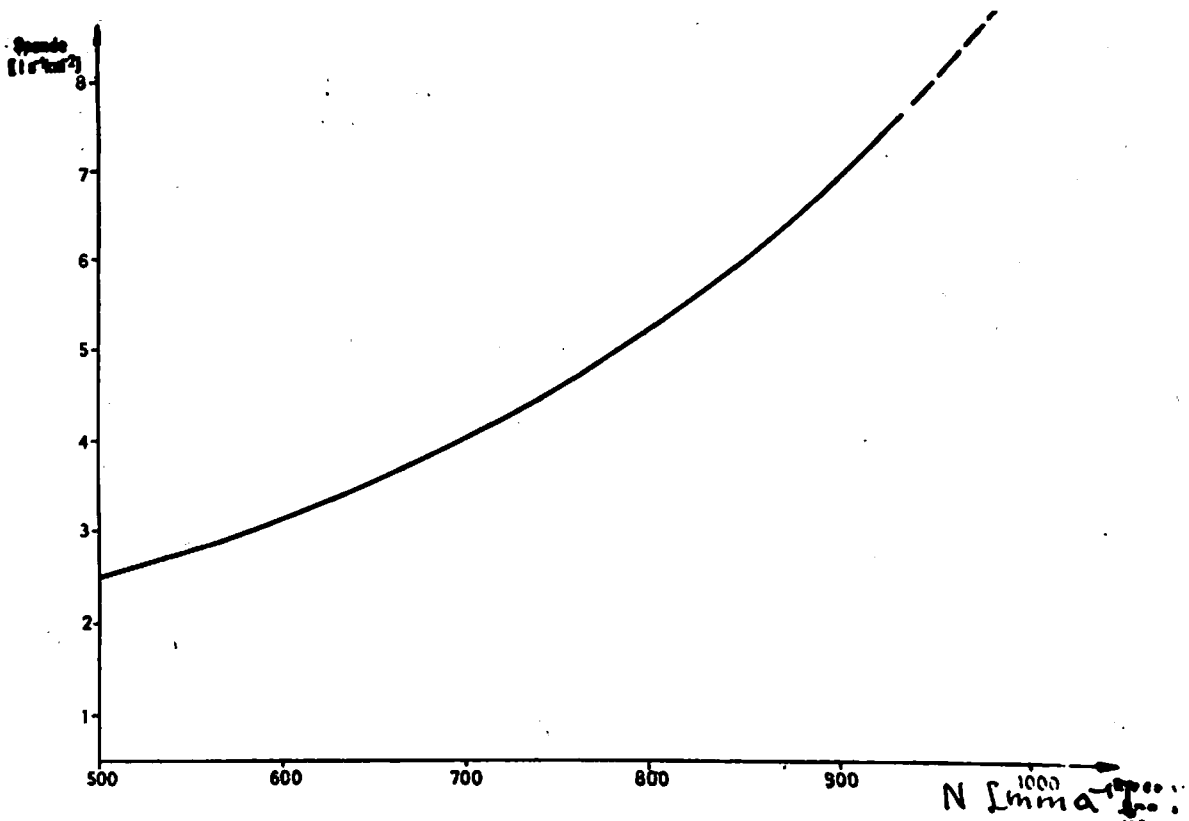


Bild 03.04./13: Schlüssellinie zur Ermittlung der mittleren GW-Neubildung - Permosiles - (KRAFT/SCHRÄBER, 1976)

03.00. Wasserhaushalt

03.04. Boden- und Grundwasserhaushalt

Tabelle 03.04./4: Wasseraufnahmevermögen des Bodens für verschiedene Bodenarten (UHDEN, 1964)

Bodenart	Wasseraufnahme mm h *	* Bei dichtem Pflanzenbestand (Grünland) oder Bodenbedeckung (Mulch) können die angegebenen Mittelwerte erhöht werden.
Sand	20	
lehmiger Sand	15	
sandiger Lehm	12	
Lehm	10	
Ton	8	

Tabelle 03.04./5: Wasseraufnahmevermögen des Bodens bei verschiedener Hangneigung (UHDEN, 1964)

Hangneigung % (m Gefälle auf 100 m)	Verminderung der Wasseraufnahme %
unter 5	0
5—8	20
9—12	40
13—20	60
über 20	75